

ธรรมวิทยาได้พื้นผิวของตะกอนบางส่วนของมหาดูร์บีโนโซอิกตอนบน
ในบริเวณอำเภอไทยตอนบน โดยเน้น
แอลกอฮอล์ฟองหัวทิน



น.ส.ทัยรัตน์ บุตรธิงษ์

ศูนย์วิทยบรังษยการ
วิทยานิพนธ์ เป็นส่วนหนึ่งของการศึกษาตามหลักสูตรปริญญาวิทยาศาสตร์มหาบัณฑิต
ภาควิชาธรรมวิทยา^{จุฬาลงกรณ์มหาวิทยาลัย}
บัณฑิตวิทยาลัย จุฬาลงกรณ์มหาวิทยาลัย

พ.ศ. ๒๕๗๔

ISBN ๙๗๔-๘๗๘-๗๗๔-๕

ลิขสิทธิ์ของบัณฑิตวิทยาลัย จุฬาลงกรณ์มหาวิทยาลัย

017690 ๑๗๙๙๙๙

SUBSURFACE GEOLOGY OF SOME UPPER CENOZOIC SEDIMENTS
IN THE UPPER GULF OF THAILAND
WITH SPECIAL REFERENCE TO
OFF-SHORE HUA HIN BASIN

Miss. Hatairat Bhuthaung

A Thesis Submitted in Partial Fulfillment of the Requirements

for the Degree of Master of Science

Department of Geology

Graduate School

Chulalongkorn University

1990

ISBN 974-578-734-5

Copyright of the Graduate School, Chulalongkorn University



Thesis Title Subsurface Geology of some Upper Cenozoic Sediments
 in the Upper Gulf of Thailand with special reference
 to off-shore Hua Hin basin.

by Miss. Hatairat Bhuthaung

Department Geology

Thesis Advisor Associate Professor Dr. Chaiyudh Khantaprab, Ph.D.

Accepted by the Graduate School, Chulalongkorn University in
Partial Fulfillment of the Requirements for the Master's Degree.

Thavorn Vajrabhaya

..... Dean of Graduate School
(Professor Thavorn Vajrabhaya, Ph.D.)

Thesis Committee

Pongsak Phongprayoon Chairman

(Assistant Professor Pongsak Phongprayoon, M.A.)

Nares Sattayarak Member

(Mr. Nares Sattayarak)

S. Palachan Member

(Mr. Songpope Palachan, Ph.D.)

Ch. Khantaprab Member

(Associate Professor Chaiyudh Khantaprab ,Ph.D.)

พัทยรัตน์ บุตรทิ้งช์ : ธรณีวิทยาใต้พื้นผิวของตะกอนบางส่วนของมหาดูรค์โนไซอิกตอนบนในบริเวณอ่าวไทยตอนบน โดยเน้นแองอกชาญผังหัวทิน (SUBSURFACE GEOLOGY OF SOME UPPER CENOZOIC SEDIMENTS IN THE UPPER GULF OF THAILAND WITH SPECIAL REFERENCE TO OFF-SHORE HUA HIN BASIN) อาจารย์ที่ปรึกษา : รศ.ดร. อรุณรัตน์ ชัยมุหกุล ขันทประน, 181 หน้า. ISBN 974-578-734-5

แม่หัวทินวางตัวอยู่ในแนวเหนือใต้ขานกับชายฝั่งของจังหวัดเพชรบุรีและประจำตัวในบริเวณอ่าวไทยตอนบน แองอกชาญประมาณ 9 กิโลเมตร และยาวประมาณ 100 กิโลเมตร บริเวณรอบอ่าวไทยตอนบนพบหินตะกอนซึ่งอยู่ในยุคเพอร์มิการ์บอนนีเพอร์ส หินปูนในยุคเพอร์เมียน และหินตะกอนซึ่งอยู่ในมหาดูรค์โนไซอิก

แม่หัวทินเกิดจากแรงดึงซึ่งมีความสัมพันธ์อย่างใกล้ชิดกับการเกิดของอ่าวไทย รอยเลื่อนปกติควบคุมการเกิดของแม่หัวทินและวางตัวอยู่ทางด้านตะวันตกของแม่หัวทิน รอยเลื่อนปกติเหล่านี้เป็นผลของแรงดึงในบริเวณนี้ แรงดึงในบริเวณอ่าวไทยเชื่อว่าเกิดจากการเคลื่อนที่ของแผ่นทวีปในเอเชียตะวันออกเฉียงใต้ โดยเฉพาะอย่างยิ่งการชนกันของอินเดียและเอเชีย ร่วมกับการปะทะสัมพันธ์ของรอยเลื่อนค่านเจดีย์สามองค์, ระนอง-คลองมารุย และปราญชัย-หัวทิน

ผลจากการศึกษาพื้นที่อ่าวไทยตอนบน โดยเน้นแองอกชาญผังหัวทินได้เสนอการเรียงลำดับชั้นหินและการตั้งชื่อหน่วยหินแบบไม่เป็นทางการ ซึ่งประกอบด้วยกลุ่มหินหัวทินและกลุ่มหินเจ้าพระยาตามลำดับจากล่างไปบน กลุ่มหินหัวทินประกอบด้วย 2 หมวดหิน โดยมีหมวดหินหนอนแครและหมวดหินเพชรบุรีตามลำดับจากล่างไปบน หมวดหินหนอนແຄวางแผนตัววังตัวแบบไม่ต่อเนื่องกับหินพื้นฐานก่อนยุคเทอร์เชียร์ และสะสมตัวในสมัยอีโคชีน/โอลิโกชีน ถึงช่วงต้นสมัยไมโอชีน หมวดหินมีลักษณะปรากฏเป็นแบบหลาบและประกอบขึ้นด้วยหินดินดานแทรกสลับกับหินปูนมีความหนาแน่นโดยประมาณ 300 ถึง 2,800 เมตร หมวดหินเพชรบุรีวางแผนตัวแบบไม่ต่อเนื่องกับหินพื้นฐานหมวดหินหนอนแคร สะสมตัวในช่วงต้นของสมัยไมโอชีนถึงช่วงปลายของสมัยไมโอชีน ลักษณะตะกอนของหมวดหินนี้ภายในแม่หัวทินจะเป็นหินดินดานแทรกสลับกับหินปูนทางตอนล่าง และตอนบนจะเป็นชุดของลักษณะการเรียงขนาดของตะกอนจากหินดานล่างถึงล่างสุดเป็นหินดินดาน ของหินทราย หินทรายเปลี่ยง และหินดินดานสลับกับชุดของหินดินดาน หินโคลน หินปูน/หินโคลไมร์ และหินทราย ในบริเวณพื้นฐานอยู่สูง หมวดหินนี้จะมีลักษณะตะกอนเป็นหินดินดานแทรกสลับกับหินทราย ลักษณะปรากฏเป็นแบบผสมผสานระหว่างแม่น้ำและทะเล เส้นทางแม่น้ำที่ตั้งแต่ 300-1,500 เมตร กลุ่มหินเจ้าพระยาประกอบด้วย 2 หมวดหิน ได้แก่ หมวดหินกระบัง และหมวดหินสักหกุ้ก ตามลำดับจากล่างไปบน หมวดหินกระบังวางแผนตัวแบบไม่ต่อเนื่องกับหมวดหินเพชรบุรี และสะสมตัวในช่วงปลายสมัยไมโอชีนถึงปลายสมัยไพลโอชีน หมวดหินนี้มีลักษณะของหินทรายสลับกับหินดินดาน หินโคลนและโคลน ลักษณะปรากฏเป็นแบบแม่น้ำ มีความหนาประมาณ 300-500 เมตร หมวดหินสักหกุ้กความกว้างตัวแบบไม่ต่อเนื่องกับหมวดหินกระบัง และสะสมตัวในช่วงปลายสมัยไพลโอชีนถึงสมัยไชโอลิชีน ประกอบขึ้นด้วยหินและโคลนที่มีลักษณะปรากฏเป็นแบบเหลือง โดยมีความหนาประมาณ 300 ถึง 400 เมตร

แม่หัวทินนี้มีการพัฒนาโดยการบ่อนในเชิงพาณิชย์ในบริเวณแม่หัวทินก็ตาม แต่มีศักยภาพของหินตันกำเนิด คือหินที่มีลักษณะปรากฏเป็นแบบหลาบและเส้นทางของหมวดหินชุดหนึ่งประกอบด้วยหินทรายและเพชรบุรี จากการพิจารณาการดำเนินคดีโดยใช้เวลาและอุณหภูมิภายในบริเวณแม่หัวทิน ตั้งแต่ชั้นหัวทินสามารถจะเกิดขึ้นได้ระหว่างความลึก 2,900 เมตร ถึง 3,700 เมตร ให้รับคับห้องทะเล ส่วนหัวทินที่มีลักษณะของหินทรายและหินหินดินดาน หินโคลนและโคลน ลักษณะปรากฏเป็นแบบแม่น้ำ มีความหนาประมาณ 300-500 เมตร หมวดหินสักหกุ้กความกว้างตัวแบบไม่ต่อเนื่องกับหมวดหินกระบัง และสะสมตัวในช่วงปลายสมัยไพลโอชีนถึงสมัยไชโอลิชีน ประกอบขึ้นด้วยหินและโคลนที่มีลักษณะปรากฏเป็นแบบเหลือง โดยมีความหนาประมาณ 300 ถึง 400 เมตร

ภาควิชา คณะศิริภัทร
สาขาวิชา คณะศิริภัทร
ปีการศึกษา ๒๕๓๓

ลายมือชื่อนักศึกษา พัฒน์วงศ์ พัฒน์วงศ์
ลายมือชื่ออาจารย์ที่ปรึกษา ปริญญา

พิมพ์ครั้งที่หนึ่งโดยสำนักพิมพ์มหาวิทยาลัยหัวหิน ประจำปี พ.ศ.๒๕๖๒

HATAIRAT BHUTHAUNG: SUBSURFACE GEOLOGY OF SOME UPPER CENOZOIC SEDIMENTS IN THE UPPER GULF OF THAILAND WITH SPECIAL REFERENCE TO OFF-SHORE HUA HIN BASIN. THESIS ADVISOR: ASSOC.PROF.CHAIYUDH KHANTAPRAB, PH.D. 181pp. ISBN 974-578-734-5

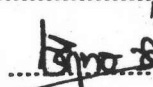
The Hua Hin basin is elongated in the N - S direction and parallel with the coast of Phetchaburi and Phrae provinces in the Upper Gulf of Thailand. This basin is approximately 9 kilometres wide and approximately 100 kilometres long. The Upper Gulf of Thailand is surrounded by Permo-Carboniferous clastic rocks, Permian limestone and Mesozoic clastic rocks.

The Hua Hin basin was formed by extensional force closely related with the opening of the Gulf of Thailand. The normal faults controlled the development of basin and bounded the western edge of basin and parallel to the Hua Hin - Pranburi coast. These normal faults are the result of the extension in this region. The extension force in the Gulf of Thailand is believed to have been caused by plate motions in the S-E Asia, especially the collision of India with Asia, and the interactions of the Three Pagodas, Ranong-Khlong Marui and Pranburi-Hua Hin faults.

In the Upper Gulf of Thailand with special reference to off-shore Hua Hin basin, the lithostratigraphic units had been proposed as informal name and composed of the Hua Hin Group and the Chao Phraya Group in ascending order. The Hua Hin Group comprises of 2 formations, namely, Nong Kae Formation and Phetchaburi Formation in ascending order. The Nong Kae Formation unconformably overlies the pre-Tertiary basement rocks and was deposited during Late Eocene/Oligocene to Early Miocene. This formation is lacustrine facies and is characterized by the interbedding of shale with limestone of approximately 300 to 2,800 metres thick. The Phetchaburi Formation unconformably overlies the Nong Kae Formation and was deposited during Early Miocene to Late Miocene. The lithological characteristics of Phetchaburi Formation deposited within the Hua Hin basin are interbedding of shale and limestone in the lower part and a series of fining-upward sequence of sandstone, siltstone and shale intervening with the sequence of shale/claystone, limestone/dolomite and sandstone in the upper part. In the basement high areas, the lithological characteristics of this formation is shale interbedded with sandstone. The Chao Phraya Group is represented by 2 formations, namely, Krabang Formation and Sattakut Formation in ascending order. The Krabang Formation unconformably overlies the Phetchaburi Formation and was deposited during Late Miocene to Late Pliocene. This formation is characterized by the sandstone interbedded with shale/claystone/clay of fluvial facies with the thickness of 300 to 500 metres. The Sattakut Formation unconformably overlies the Krabang Formation and was deposited during Late Pliocene to Holocene. The formation is characterized by the association of sand and clay of shallow marine facies with the thickness is approximately 300-400 metres.

Despite the fact that so far there is no commercial hydrocarbons discovered in the Hua Hin basin, the potential source rocks are the lacustrine facies of Nong Kae and Phetchaburi Formation. The determination of time-temperature maturity of the basin reveals that the oil window is between 2,900 to 3,700 metres beneath the sea bed. The potential traps are both stratigraphic and/or structure types of Nong Kae, Phetchaburi and Krabang Formations.

ภาควิชา ธรณีวิทยา
สาขาวิชา ธรณีวิทยา
ปีการศึกษา ๔๕๓๓

ลายมือชื่อนิสิต นริศร์วิทยาน ผู้สอน
ลายมือชื่ออาจารย์ที่ปรึกษา 
ลายมือชื่ออาจารย์ที่ปรึกษาร่วม



ACKNOWLEDGMENTS

The author is indebted to her supervisor, Associate Professor Dr. Chaiyudh Khantaprab for his guidance , encouragement and the reading of manuscript.

The author is grateful to the Department of Mineral Resources of Thailand (DMR) and particularly Mr. Nares Sattayarak for the permission to study the Hua Hin basin.

Special acknowledgments are due to Mr. Somkiet Janmaha and Mr. Surawit Pradidtan for their advice and comments on some aspects of this research work.

Financial supports of this research programme are provided by the research assistantship of the Graduate School, the Department of Geology, Chulalongkorn University, the Chulalongkorn-Amoco Geological Fund, and the Research Fund of the Graduate School of Chulalongkorn University.

The Department of Geology of Chulalongkorn University has continuously provided numerous facilities to support this work.

Finally, no thesis can be completed without the help and encouragement of friends who patiently provided both moral and physical support.



CONTENTS

	Page
ABSTRACT IN THAI	iv
ABSTRACT IN ENGLISH	v
ACKNOWLEDGEMENTS	vi
CHAPTER	
I INTRODUCTION	1
1.1 Study Area	5
1.2 Exploration History of the Hua Hin Basin	7
1.3 Objectives of the study	12
1.4 Data Sources	12
1.5 Study Methodology	12
1.6 Previous Investigations	14
II GEOLOGY	19
2.1 Physiography	19
2.2 Geological Setting	24
2.3 Geological Evolution of the Gulf of Thailand	40
III SUBSURFACE GEOLOGY OF THE HUA HIN BASIN	45
3.1 The Sedimentary Units of the Hua Hin Basin	50
3.1.1 Unit A	50
3.1.2 Unit B	55
3.1.3 Unit C	58
3.1.4 Unit D	60
3.1.5 Palynological Evidences and Age Determination	62

CHAPTER		Page
3.2 Geological Structures		64
3.2.1 Structural Framework of the Upper Gulf of Thailand		66
3.2.1.1 The Three Pagodas Fault Zone (TPFZ)		66
3.2.1.2 Ranong-Khlong Marui Fault Zone (RKMZFZ)		68
3.2.1.3 Pranburi Hua-Hin Fault Zone (PHHFZ)		70
3.2.2 Structural Elements of the Upper Gulf of Thailand		72
3.2.2.1 NW to SE, NE to SW and N to S normal fault		72
3.2.2.2 Roll-over and antithetic faults		75
3.2.3 Geological Structures of the Hua Hin Basin		75
3.2.4 Structural Evolution of the Hua Hin Basin		77
3.2.4.1 Oligocene to Early Miocene		82
3.2.4.2 Early Miocene to Late Miocene		85
3.2.4.3 Late Miocene to Holocene		87
3.3 Sedimentary Facies Analysis		88
3.4 Proposed Depositional Model		95
3.4.1 Depositional Environment of Facies A		95
3.4.2 Depositional Environment of Facies B		97
3.4.3 Depositional Environment of Facies C		100
3.4.4 Depositional Environment of Facies D		100
3.5 The Hua Hin Basin Model		105

CHAPTER		Page
IV	GEOLOGY OF THE UPPER GULF OF THAILAND	111
	4.1 The Sedimentary Facies on the Basement-High Areas of the Upper Gulf	111
	4.2 Proposed Lithostratigraphy of the Upper Gulf	134
	4.2.1 The Hua Hin Group	135
	4.2.1.1 The Nong-Kae Formation	135
	4.2.1.2 The Phetchaburi Formation	137
	4.2.2 The Choa Phraya Group	138
	4.2.2.1 The Krabang Formation	139
	4.2.2.2 The Sattakut Formation	139
	4.3 Geological Evolution of the Upper Gulf of Thailand	139
V	PETROLEUM POTENTIAL ASSESSMENTS IN THE HUA HIN BASIN	143
	5.1 Sources Rocks	144
	5.2 The Petroleum Generation Potential	147
	5.3 The Petroleum Potential	153
VI	CONCLUSION	159
	REFERENCES	163
	BIOGRAPHY	181

X

LIST OF FIGURES

Figure	Page
1 a Significant Cenozoic basins in Thailand.	2
1 b The exploratory wells in the Gulf of Thailand drilled during 1971-1982.	4
1.1 a The study area.	6
1.1 b Chart shows rainfall around the Gulf of Thailand during 1985-1987.	8
1.1 c Chart shows the temperature around the Gulf of Thailand during 1985-1987.	8
1.2 a The petroleum concession blocks in Thailand.	9
1.2 b The extensive seismic survey of totally 2,627 line-kilometres conducted by Pecten International Company in 1981 and well locations.	10
1.2 c The exploration wells in the upper Gulf of Thailand.	11
1.5 a The summarized flow chart illustrating the study methodology for literature survey, data collection and preparation.	15
1.5 b The summarized flow chart illustrating the study methodology for interpretation and reconstruction of depositional environments.	16
2.1 a The Gulf of Thailand and adjacent areas.	20
2.1 b Bathymetric chart of the Gulf of Thailand.	21
2.1 c General surficial sediments of the Gulf of Thailand.	23

Figure		Page
2.1 d	The types of origin of surficial sediments in the Gulf of Thailand.	23
2.2 a	Ancient cratonic areas of SE Asia.	25
2.2 b	The map of four zones of Peninsular Thailand.	26
2.2 c	Lithostratigraphic units of Peninsular Thailand.	26
2.2 d	The distribution of many rock units around the Upper Gulf of Thailand.	28
2.2 e	Map of the Chao Phraya basin showing small Tertiary basins distribution, and the major tectonic lineaments. 1 Sing buri; 2 Suphan buri; 3 Kamphaeng saen; 4 Ayuthaya; 5 Thon buri; 6 Sakhon; 7 Paknam; 8 Hua Hin	29
2.2 f	The pre-Tertiary basement structure of the Gulf of Thailand.	32
2.2 g	Stratigraphic succession of the Gulf of Thailand.	33
2.2 h	The stratigraphic succession of the Pattani basin, the southern part of the Gulf of Thailand.	35
2.2 i	The Stratigraphic of the Tertiary basins in the Gulf of Thailand. (1):Lian & Breadley, 1986 ; (2):Woolands & Haw, 1976.	38
2.2 j	The general stratigraphic section of the Gulf of Thailand.	39
2.2 k	Palynological zones of the Gulf of Thailand.	41
2.2 l	Palynological zones of the Gulf of Thailand.	41
2.3	Regional distribution and ages of granite belts in Thailand.	43

Figure		Page
3 a	Seismic lines covering the study area and well locations.	46
3 b	Seismic section and geological section along the E-W direction (seismic line no.34, see Fig.3.a for location) of the Hua Hin basin showing the three markers.	47
3 c	Seismic section and geological section along the E-W direction (seismic line no. 40, see Fig.3.a for location) of the Hua Hinbasin showing the three markers.	48
3 d	Seismic section line no. 96 (see Fig.3.a for location), showing the sedimentary units in the Hua Hin basin.	51
3.1 a	Seismic section line no. 26a (see Fig. 3.a for location), showing the sedimentary units in the Hua Hin basin.	52
3.1.1	Lithological and geophysical characteristics of the Unit A, Hua Hin basin.	54
3.1.2	Lithological and geophysical characteristics of the Unit B, Hua Hin basin.	59
3.1.3	Lithological and geophysical characteristics of the Unit C, Hua Hin basin.	61
3.1.4	Lithological and geophysical characteristics of the Unit D, Hua Hin basin.	63
3.1.5	The age determination from the palynological evidence of the sedimentary units in the Hua Hin basin.	65

Figure	Page
3.2.1 The structural framework of the Upper Gulf of Thailand.	67
3.2.2 The structural elements of the Upper Gulf of Thailand.	73
3.2.2.2 Seismic section showing the roll-over and antithetic fault in the Upper Gulf.	76
3.2.3 a The seismic section and geological section along the E-W direction (seismic line no. 94, see Fig. 3.a for location) of the Hua Hin basin showing the depositional and structural controls.	78
3.2.3 b The seismic section and geological section along the E-W direction (seismic line no. 24, see Fig. 3 a for location) of the Hua Hin basin showing the depositional and structural controls.	79
3.2.3 c The seismic section and geological section along the E-W direction (seismic line no.16, see Fig. 3.a for location) of the Hua Hin basin showing the depositional and structural controls.	80
3.2.3 d The seimic section and geological section along the E-W direction (seismic line no.64, see Fig. 3.a for location) of the Hua Hin basin showing the depositional and structural controls.	81
3.2.4.1 The structural map of the basement of the Hua Hin basin.	83
3.2.4.2 The structural map of the Early Miocene age.	86
3.3 a Summarized depositional environment of Facies association A.	91

Figure		Page
3.3 b	Summarized depositional environments of Facies association B.	93
3.3 c	Summarized depositional environments of Facies association C.	94
3.3 d	Summarized depositional environment of Facies association D.	96
3.4.4 a	The eustatic changes in sea level of SE Asia.	102
3.4.4 b	Facies maps of the study area.	104
4.1 a	Summarized characteristics of the sedimentary facies in the Hua Hin basin.	112
4.1 b	The sedimentary facies in the Upper Gulf of Thailand.	114
4.1 c	The seismic section and geological section along the E-W direction (seismic line no. 26A,26, see Fig. 3.a for location) of the Hua Hin basin showing of the location of the Phetchaburi-1 and Krabang-1 wells.	115
4.1 d	Summarized characteristics of Krabang-1 well.	116
4.1 e	Summarized characteristic of Krabang-1 well.	117
4.1 f	Stratigraphic correlation of the Hua Hin basin and the north-eastern basement-high area.	120
4.1 g	The seismic section and geological section along the N-S direction(seismic line no.17 ,see Fig. 3.a for location) of study area showing the location of the Nong Kae-1 well.	121
4.1 h	Summarized characteristics of Nong Kae-1 well.	122
4.1 i	Summarized characteristics of Nong Kae-1 well.	123

Figure		Page
4.1 j	Stratigraphic correlation of the Hua Hin basin and Central basement-high area.	127
4.1 k	The seismic section and geological section along the E-W direction (seismic line no.78, see Fig. 3a for location) of the study area showing the location of the Sattakut-1 well.	128
4.1 l	Summarized characteristics of Sattakut-1 well.	129
4.1 m	Summarized characteristics of Sattakut-1 well.	130
4.1 n	Stratigraphic correlation of the Hua Hin basin and the south-eastern basement-high area.	133
4.2	Summarized stratigraphic framework in the Gulf of Thailand.	136
5.2 a	Seismic section line no.26A showing the locations of few shot-points were selected to study.	149
5.2 b	Burial History graph of the Hua Hin basin of short-point 1630.	150
5.2 c	Burial History graph of the Hua Hin basin of short-point 1580.	151
5.2 d	Burial History graph of the Hua Hin basin of short- point 1740.	152

LIST OF TABLES

Table		Page
3.5 a	Classification of the types of sedimentary basin.	107
3.5 b	Basin Classification.	108
5.1	The geochemical analysis data of rocks from the Phetchaburi-1 well.	146
5.2 a	TTI values of the Phetchaburi-1 well of the Hua Hin basin of short point 1630 on seismic section line no. 26A.	154
5.2 b	TTI values of the Phetchaburi-1 well of the Hua Hin basin of short point 1580 on seismic section line no. 26A.	155
5.2 c	TTI values of phetchaburi-1 well of the Hua Hin basin of short point 1740 on seismic section line no. 26A.	156